

В. Н. АКОПЯН

О КОНТАКТЕ КРУГОВОГО ДИСКА С ДВУМЯ  
ПРЯМОУГОЛЬНИКАМИ ПРИ ТЕМПЕРАТУРНЫХ  
ВОЗДЕЙСТВИЯХ\*

Исследуется контактная задача о сжатии упругого кругового диска двумя неодинаковыми упругими же прямоугольниками с учетом температурных воздействий. Эти воздействия обусловлены наличием стационарного температурного поля, когда имеют место обычные условия теплового контакта.

Указанная задача при отсутствии температурного поля, когда сжимающие прямоугольники абсолютно жесткие, притом в зонах контакта действуют только нормальные напряжения, рассмотрена в [5].

В настоящей работе эта задача в общей постановке, когда прямоугольники имеют различные геометрические и упругие параметры, а в несимметрических зонах контакта наряду с нормальными действуют также тангенциальные контактные напряжения, обсуждается, по-видимому, впервые. Решение задачи сведено к совместному решению бесконечных систем линейных уравнений и сингулярных интегральных уравнений с ядрами, представимыми суммой своей сингулярной части в виде ядра Коши и некоторых регулярных ядер. На основе аппарата многочленов Якоби и Чебышева последние уравнения сведены к эквивалентным регулярным бесконечным системам.

Проведено достаточно полное исследование задачи и при помощи численного анализа выяснены закономерности изменения важных механических характеристик: длины зоны контакта, меры сближения прямоугольников, а также контактных напряжений.

1. Пусть упругий круглый диск единичного радиуса сжимается двумя упругими неодинаковыми прямоугольниками, изготовленными из различных материалов и находящимися под действием симметричных относительно оси  $ou$  нормальных нагрузок соответственно интенсивностей  $q_1(x)$  и  $q_2(x)$  (фиг. 1). Кроме того, система диск-прямоугольники подвержена также температурным воздействиям, находясь в стационарном температурном поле. При этом полагается, как в [3], что температурные режимы в диске и в прямоугольниках в зонах контакта удовлетворяют условиям обычного теплового контакта, на неконтактирующих частях границы диска и внутренних сторонах прямоугольников имеет место теплообмен с внеш-

\* Работа доложена на Всесоюзной конференции по теории упругости в г. Ереване в 1979 г.

ней средой по закону Ньютона, а на наружных частях границы прямоугольников поддерживается нулевая температура.

Предположим, что диск входит в контакт с прямоугольниками по дугам единичной окружности  $a_1 \check{b}_1 (a_1 = -ie^{-i\alpha}, b_1 = -ie^{i\alpha})$  и  $a_2 \check{b}_2 (a_2 = ie^{-i\beta}, b_2 = ie^{i\beta})$ , которым на сторонах прямоугольников соответствуют интервалы  $(-a, a)$  и  $(-b, b)$ . Далее предположим, что в зонах контакта действуют как нормальные, так и тангенциальные напряжения.

Нужно определить контактные напряжения, меру сближения прямоугольников относительно диска  $\delta_1$  и  $\delta_2$ , то есть жесткость системы диск-прямоугольники, а также полудлину зон контакта  $a$  и  $b$ .

Предварительно приведем решения вспомогательных задач об определении компонентов смещений граничных точек диска и прямоугольников, находящихся под действием произвольных внешних сил.

Фиг. 1.

В первой задаче пусть круговой диск на участках своей границы  $-\frac{\pi}{2} - \alpha \leq \theta \leq -\frac{\pi}{2} + \alpha$ ;  $\frac{\pi}{2} - \beta \leq \theta \leq \frac{\pi}{2} + \beta$ , соответствующих контактным зонам, загружен силами  $[\tau_1(\theta), p_1(\theta)]$  и  $[\tau_2(\theta), -p_2(\theta)]$  соответственно, где  $\tau_i(\theta)$  ( $i = 1, 2$ ) — действуют вдоль оси  $ox$ , а  $p_i(\theta)$  ( $i = 1, 2$ ) — вдоль оси  $oy$ .

Тогда, пользуясь известными результатами [2], непосредственно можем записать

$$\begin{aligned}
 2\mu_1 u^{(1)}(\theta) = & \frac{\nu_1 + 1}{2\pi} \int_{-\frac{\pi}{2} - \alpha}^{-\frac{\pi}{2} + \alpha} \ln \left| \frac{1}{2 \sin \frac{\theta - \xi}{2}} \right| \tau_1(\xi) d\xi + \\
 & + \frac{\nu_1 + 1}{2\pi} \int_{\frac{\pi}{2} - \beta}^{\frac{\pi}{2} + \beta} \ln \left| \frac{1}{2 \sin \frac{\theta - \xi}{2}} \right| \tau_2(\xi) d\xi + \\
 & + \frac{\nu_1 - 1}{2\pi} \int_{\frac{\pi}{2} - \beta}^{\frac{\pi}{2} + \beta} \frac{\pi - |\theta - \xi|}{2} \operatorname{sign}(\theta - \xi) p_2(\xi) d\xi - \\
 & - \frac{\nu_1 - 1}{2\pi} \int_{-\frac{\pi}{2} - \alpha}^{-\frac{\pi}{2} + \alpha} \frac{\pi - |\theta - \xi|}{2} \operatorname{sign}(\theta - \xi) p_1(\xi) d\xi - (\nu_1 + 1) a_1 \cos \theta \quad (1.1)
 \end{aligned}$$

$$\begin{aligned}
2\mu_1 v^{(1)}(\theta) = & \frac{\lambda_1 + 1}{2\pi} \int_{-\frac{\pi}{2}-\alpha}^{-\frac{\pi}{2}+\alpha} \ln \left| \frac{1}{2 \sin \frac{\theta - \xi}{2}} \right| p_1(\xi) d\xi - \\
& - \frac{\lambda_1 + 1}{2\pi} \int_{\frac{\pi}{2}-\beta}^{\frac{\pi}{2}+\beta} \ln \left| \frac{1}{2 \sin \frac{\theta - \xi}{2}} \right| p_2(\xi) d\xi + \\
& + \frac{\lambda_1 - 1}{2\pi} \int_{\frac{\pi}{2}-\beta}^{\frac{\pi}{2}+\beta} \frac{\pi - |\theta - \xi|}{2} \operatorname{sign}(\theta - \xi) \tau_2(\xi) d\xi + \\
& + \frac{\lambda_1 - 1}{2\pi} \int_{-\frac{\pi}{2}-\alpha}^{-\frac{\pi}{2}+\alpha} \frac{\pi - |\theta - \xi|}{2} \operatorname{sign}(\theta - \xi) \tau_1(\xi) d\xi - (\lambda_1 + 1) \alpha_1 \sin \theta
\end{aligned}$$

где  $\lambda_1 = \frac{\lambda_1 + 3\mu_1}{\lambda_1 + \mu_1}$  — постоянная Мусхелишвили,  $u^{(1)}(\theta)$  и  $v^{(1)}(\theta)$  — соответственно горизонтальные и вертикальные смещения граничных точек диска, а

$$\begin{aligned}
\alpha_1 = & \frac{1}{4\pi} \int_{\frac{\pi}{2}-\beta}^{\frac{\pi}{2}+\beta} [-p_2(\xi) \sin \xi + \tau_2(\xi) \cos \xi] d\xi + \\
& + \frac{1}{4\pi} \int_{-\frac{\pi}{2}-\alpha}^{-\frac{\pi}{2}+\alpha} [p_1(\xi) \sin \xi + \tau_1(\xi) \cos \xi] d\xi \quad (1.2)
\end{aligned}$$

Во второй вспомогательной задаче определим смещение граничных точек прямоугольника  $0 \leq y \leq h$ ;  $-l \leq x \leq l$ , на границе которого действуют нагрузки следующего типа:

$$\begin{aligned}
\sigma_x^{(2)}(-l, y) = 0; \quad \sigma_x^{(2)}(l, y) = 0; \\
\tau_{xy}^{(2)}(-l, y) = 0; \quad \tau_{xy}^{(2)}(l, y) = 0; \quad (0 < y < h) \\
\sigma_y^{(2)}(x, h) = -q(x); \quad \sigma_y^{(2)}(x, 0) = -p(x); \\
\tau_{xy}^{(2)}(x, h) = 0; \quad \tau_{xy}^{(2)}(x, 0) = -\tau(x); \quad (-l < x < l)
\end{aligned} \quad (1.3)$$

где  $q(x)$ ,  $p(x)$  и  $\tau(x)$  — наперед заданные функции, выражающие интен-

сивность приложенных к прямоугольнику нормальных и тангенциальных сил.

Решение этой задачи построим при помощи функции напряжения Эри  $F(x, y)$ , связанной с напряжениями и перемещениями при помощи известных формул и представляемой формулой [1]

$$F(x, y) = \sum_{k=1}^{\infty} \cos \alpha_k x [A_k \operatorname{ch} \alpha_k y + B_k \operatorname{sh} \alpha_k y + \alpha_k y (C_k \operatorname{ch} \alpha_k y + D_k \operatorname{sh} \alpha_k y)] + \sum_{k=1}^{\infty} E_k \sin \beta_k y [\beta_k x \operatorname{sh} \beta_k x - \beta_k l \operatorname{th} \beta_k l \operatorname{ch} \beta_k x] \quad (1.4)$$

$$\left( \alpha_k = \frac{\pi(2k-1)}{2l}, \quad \beta_k = \frac{\pi k}{h} \right)$$

Здесь коэффициенты  $A_k, B_k, C_k, D_k$  и  $E_k$  ( $k = 1, 2, \dots$ ) — неизвестны и подлежат определению. Удовлетворяя граничным условиям (1.3), для определения неизвестных коэффициентов  $E_k$  ( $k = 1, 2, \dots$ ) получим бесконечную систему алгебраических уравнений

$$Y_p = \sum_{k=1}^{\infty} A_{p,k} Y_k + N_p \quad (p = 1, 2, \dots) \quad (1.5)$$

где введены следующие обозначения:

$$Y_p = \beta_p^2 \operatorname{ch} \nu_p E_p; \quad \nu_p = l \beta_p; \quad \nu_p = h \alpha_p$$

$$A_{p,k} = \frac{16 \beta_p^2}{h \varphi_p^{(1)}} \sum_{n=1}^{\infty} \frac{\beta_k \alpha_n^3 [\varphi_n^{(2)} (1 + (-1)^{k+p+1} \operatorname{th} \nu_n) - \varphi_n^{(3)} ((-1)^k + (-1)^{p+1})]}{(\alpha_n^2 + \beta_k^2)^2 (\alpha_n^2 + \beta_p^2)^2}$$

$$N_p = \frac{4 \beta_p^2}{h \varphi_p^{(1)}} \sum_{n=1}^{\infty} \frac{(-1)^{n-1} \alpha_n}{(\alpha_n^2 + \beta_p^2)} \left[ \left( (-1)^{p+1} \varphi_n^{(4)} + \varphi_n^{(5)} - \frac{1}{2 \beta_p^2} \right) a_n + \left( \varphi_n^{(4)} - (-1)^{p+1} \varphi_n^{(5)} - \frac{(-1)^p}{2 \beta_p^2} \right) b_n + ((-1)^{p+1} \varphi_n^{(3)} - \varphi_n^{(2)}) d_n \right] \quad (k, p = 1, 2, \dots)$$

$$\varphi_p^{(1)} = (1 - \nu_p \operatorname{th} \nu_p) \operatorname{th} \nu_p + \nu_p; \quad \varphi_p^{(2)} = \frac{\operatorname{sh} \nu_p \operatorname{ch} \nu_p - \nu_p}{\operatorname{sh}^2 \nu_p - \nu_p^2}$$

$$\varphi_p^{(3)} = \frac{\operatorname{sh} \nu_p - \nu_p \operatorname{ch} \nu_p}{\operatorname{sh}^2 \nu_p - \nu_p^2}; \quad \varphi_p^{(4)} = \frac{\nu_p \operatorname{sh} \nu_p}{\operatorname{sh}^2 \nu_p - \nu_p^2}; \quad \varphi_p^{(5)} = \frac{\operatorname{sh}^2 \nu_p}{\operatorname{sh}^2 \nu_p - \nu_p^2}$$

$$a_n = \frac{1}{l} \int_{-l}^l p(\xi) \cos \alpha_n \xi d\xi; \quad b_n = \frac{1}{l} \int_{-l}^l q(\xi) \cos \alpha_n \xi d\xi;$$

$$d_n = \frac{1}{l} \int_{-l}^l r(\xi) \sin \alpha_n \xi d\xi$$

Остальные коэффициенты, входящие в разложение  $F(x, y)$ , выражаются через  $Y_n$ ,  $a_k$ ,  $b_n$  и  $d_k$  при помощи простых формул.

Положив

$$p(x) = \begin{cases} p_1(x) & \text{при } -a \leq x \leq a; \\ 0 & \text{при } l > |x| > a; \end{cases} \quad \tau(x) = \begin{cases} \tau_1(x) & \text{при } -a \leq x \leq a \\ 0 & \text{при } l > |x| > a \end{cases}$$

для смещений граничных точек прямоугольника получим

$$\begin{aligned} u^{(2)}(x, 0) &= -\frac{(1+\nu_2)(1-2\nu_2)}{E_2} \int_{-a}^a R_{11}(x, \xi) p_1(\xi) d\xi + \\ &+ \frac{2(1-\nu_2^2)}{E_2} \int_{-a}^a R_{12}(x, \xi) \tau_1(\xi) d\xi + r_1(x) \\ v^{(2)}(x, 0) &= \frac{2(1-\nu_2^2)}{E_2} \int_{-a}^a R_{21}(x, \xi) p_1(\xi) d\xi - \\ &- \frac{(1+\nu_2)(1-2\nu_2)}{E_2} \int_{-a}^a R_{22}(x, \xi) \tau_1(\xi) d\xi + r_2(x) \end{aligned} \quad (1.6)$$

Здесь

$$\begin{aligned} R_{11}(x, \xi) &= \frac{1}{2} \operatorname{sign}(x - \xi) + \frac{2(1-\nu_2)}{l(1-2\nu_2)} \sum_{k=1}^{\infty} \frac{\nu_k^2}{\operatorname{sh}^2 \nu_k - \nu_k^2} \frac{\sin \alpha_k x \cos \alpha_k \xi}{\alpha_k} \\ R_{12}(x, \xi) &= \frac{1}{\pi} \ln \left| \operatorname{ctg} \frac{\pi(x - \xi)}{4l} \right| + \frac{1}{l} \sum_{k=1}^{\infty} [\varphi_k^{(2)} - 1] \frac{\sin \alpha_k x \sin \alpha_k \xi}{\alpha_k} \\ R_{21}(x, \xi) &= \frac{1}{\pi} \ln \left| \operatorname{ctg} \frac{\pi(x - \xi)}{4l} \right| + \frac{1}{l} \sum_{k=1}^{\infty} [\psi_k^{(1)} - 1] \frac{\cos \alpha_k x \cos \alpha_k \xi}{\alpha_k} \\ R_{22}(x, \xi) &= -\frac{1}{2} \operatorname{sign}(x - \xi) + \frac{2(1-\nu_2)}{l(1-2\nu_2)} \sum_{k=1}^{\infty} \frac{\nu_k^2}{\operatorname{sh}^2 \nu_k - \nu_k^2} \times \\ &\quad \times \frac{\cos \alpha_k x \sin \alpha_k \xi}{\alpha_k} \\ r_1(x) &= \frac{8(1-\nu_2^2)}{E_2} \sum_{n=1}^{\infty} \beta_n Y_n \sum_{k=1}^{\infty} \frac{\varphi_k^{(2)} - (-1)^n \varphi_k^{(3)}}{(\alpha_k^2 + \beta_n^2)^2} (-1)^k \alpha_k \sin \alpha_k x + \\ &\quad + \frac{2(1-\nu_2^2)}{E_2} \sum_{k=1}^{\infty} \frac{\varphi_k^{(4)} b_k \sin \alpha_k x}{\alpha_k} \\ r_2(x) &= \frac{8(1-\nu_2^2)}{E_2} \sum_{n=1}^{\infty} \beta_n Y_n \sum_{k=1}^{\infty} \frac{\varphi_k^{(5)} + (-1)^n \varphi_k^{(4)}}{(\alpha_k^2 + \beta_n^2)^2} (-1)^{k+1} \alpha_k \cos \alpha_k x - \end{aligned}$$

$$\begin{aligned}
& - \frac{2(1 - \nu_2^2)}{E_2} \sum_{k=1}^{\infty} \frac{\psi_k^{(2)} b_k \cos \alpha_k x}{\alpha_k} - \\
& - \frac{(1 + \nu_2)}{E_2} \sum_{k=1}^{\infty} \frac{Y_k [\beta_k x \operatorname{sh} \beta_k x - \nu_k \operatorname{th} \nu_k \operatorname{ch} \beta_k^2 x]}{\beta_k \operatorname{ch} \nu_k} - \\
& - \frac{2(1 - \nu_2^2)}{E_2} \sum_{k=1}^{\infty} \frac{\operatorname{ch} \beta_k x}{\beta_k \operatorname{ch} \nu_k} Y_k \\
\psi_k^{(1)} = & \frac{\operatorname{sh} \nu_k \operatorname{ch} \nu_k + \nu_k}{\operatorname{sh}^2 \nu_k - \nu_k^2}; \quad \psi_k^{(2)} = \frac{\operatorname{sh} \nu_k + \nu_k \operatorname{ch} \nu_k}{\operatorname{sh}^2 \nu_k - \nu_k^2}
\end{aligned}$$

Следует отметить, что в выражениях ядер  $R_{ij}$  ( $i, j = 1, 2$ ) выделены их главные и регулярные части, притом последние представляются в виде довольно быстро сходящихся рядов.

2. Перейдем к решению основной задачи. Заменяя действие верхнего прямоугольника на диск неизвестными контактными напряжениями, приходим к контактной задаче для диска и прямоугольника, условия контакта которой имеют вид [9]

$$v_1 + v_2 = \delta_1 - f_1(\theta); \quad u_1 + u_2 = 0 \quad (2.1)$$

где  $(v_1, u_1)$  и  $(v_2, u_2)$  — пары вертикальных и горизонтальных перемещений граничных точек соответственно диска и прямоугольника в зонах контакта,  $\delta_1$  — мера сближения этих тел, а  $f_1(\theta) = 1 + \sin \theta$  — функция, описывающая форму границы диска.

Для определения перемещений будем пользоваться аддитивными уравнениями термоупругости

$$v_i = v_i^{(T)} + v_i^{(Y)}, \quad u_i = u_i^{(T)} + u_i^{(Y)} \quad (i = 1, 2) \quad (2.2)$$

Здесь верхними индексами «Т» и «У» обозначены соответственно тепловые и упругие перемещения контактирующих тел. Выше мы получили формулы (1.1) и (1.6) для упругих перемещений диска и прямоугольника, выраженных через неизвестные контактные напряжения, то есть

$$v_i^{(Y)} = v^{(i)}; \quad u_i^{(Y)} = u^{(i)} \quad (i = 1, 2)$$

После того, как известна температура в диске  $T_1(r, \theta)$  и в прямоугольнике —  $T_2(x, y)$ , легко можно записать выражения тепловых перемещений [3]

$$u_1^{(T)} = k_1 \sum_{n=0}^{\infty} a_n \frac{\cos(n+1)\theta}{n+1}; \quad v_1^{(T)} = k_1 \sum_{n=0}^{\infty} a_n \frac{\sin(n+1)\theta}{n+1}$$

$$u_2^{(T)} = k_2 \sum_{n=1}^{\infty} \frac{B_n}{\alpha_n} (1 + \operatorname{th} \alpha_n (1+h)) \sin \alpha_n x$$

$$v_2^{(T)} = k_2 \sum_{n=1}^{\infty} \frac{B_n}{\alpha_n} (1 + \operatorname{th} \alpha_n (1+h)) \cos \alpha_n x$$

где  $k_i = \frac{2a_i(1 - \nu_i^2)}{E_i}$ ,  $\alpha_i$  ( $i = 1, 2$ ) — коэффициенты теплового расширения диска и прямоугольника соответственно, а  $a_n$  и  $B_n$  ( $n = 1, 2, \dots$ ) определяются из бесконечной системы (2.2).

Далее, ввиду малости размеров контактных зон по сравнению с характерными размерами тел и того, что при их сжатии дуговые и прямолинейные отрезки сливаются в единый контактный интервал, в зонах контакта примем  $x = 1 - \theta$ . На основе последнего дуговые отрезки зоны контакта диска  $a_1 b_1$  и  $a_2 b_2$  отождествляем с прямолинейными зонами контакта  $(-a, a)$  и  $(-b, b)$ .

Подставляя значения упругих перемещений из (1.1) и (1.6) в условие контакта (2.1) и учитывая только что сказанное, получим следующую систему уравнений:

$$\begin{aligned} & \int_{-a}^a Q_{11}(x, \xi) p_1(\xi) d\xi + \int_{-a}^a Q_{12}(x, \xi) \tau_1(\xi) d\xi + \\ & + \int_{-b}^b Q_{13}(x, \xi) p_2^*(\xi) d\xi + \int_{-b}^b Q_{14}(x, \xi) \tau_2^*(\xi) d\xi = F_1(x) \\ & \int_{-a}^a Q_{21}(x, \xi) p_1(\xi) d\xi + \int_{-a}^a Q_{22}(x, \xi) \tau_1(\xi) d\xi + \\ & + \int_{-b}^b Q_{23}(x, \xi) p_2^*(\xi) d\xi + \int_{-b}^b Q_{24}(x, \xi) \tau_2^*(\xi) d\xi = F_2(x) \end{aligned} \quad (2.3)$$

$(-a < x < a)$

Аналогично, из условия контакта диска с верхним прямоугольником получим еще одну бесконечную систему алгебраических уравнений и систему функциональных уравнений, подобных системам (1.5) и (2.3). В случае, когда прямоугольники одинаковые, последние системы полностью совпадают с (1.5) и (2.3).

Для простоты далее рассмотрим именно этот случай, то есть в (2.3) примем  $p_1(x) = p_2^*(x) = p_2(x - \pi)$ ;  $\tau_1(x) = -\tau_2^*(x) = -\tau_2(x - \pi)$ ;  $q_2(x) = q_3(x) = q(x)$ ;  $\delta_1 = \delta$  и  $a = b$ . Тогда система функциональных уравнений (2.3) вырождается в следующую систему интегральных уравнений:

$$\begin{aligned} & -\lambda_1 \int_{-a}^a [\text{sign}(x - \xi) + L_{11}(x, \xi)] p_1(\xi) d\xi + \\ & + \lambda_2 \int_{-a}^a \left[ \ln \frac{1}{|x - \xi|} + L_{12}(x, \xi) \right] \tau_1(\xi) d\xi = F_1(x) \end{aligned} \quad (2.4)$$

$$\lambda_2 \int_{-a}^a \left[ \ln \frac{1}{|x - \xi|} + L_{21}(x, \xi) \right] p_1(\xi) d\xi + \\ + \lambda_1 \int_{-a}^a [\text{sign}(x - \xi) + L_{22}(x, \xi)] \tau_1(\xi) d\xi = F_2(x) \quad (-a < x < a)$$

где

$$\lambda_i = \theta_1^{(i)} + \theta_2^{(i)}; \quad \theta_1^{(1)} = \frac{2(1 - \nu_i)}{\pi E_i}; \quad \theta_1^{(2)} = \frac{(1 + \nu_i)(1 - 2\nu_i)}{2E_i} \quad (i = 1, 2)$$

$$L_{11}(x, \xi) = \frac{\pi \theta_2^{(1)}}{D_1} \sum_{k=1}^{\infty} (\varphi_k^{(5)} - 1) \frac{\sin \alpha_k x \cos \alpha_k \xi}{\alpha_k} + f_2(x, \xi)$$

$$L_{12}(x, \xi) = \frac{\pi \theta_2^{(1)}}{D_2} \sum_{k=1}^{\infty} (\varphi_k^{(2)} - 1) \frac{\sin \alpha_k x \sin \alpha_k \xi}{\alpha_k} + f_3(x, \xi)$$

$$L_{21}(x, \xi) = \frac{\pi \theta_2^{(1)}}{D_2} \sum_{k=1}^{\infty} (\psi_k^{(1)} - 1) \frac{\cos \alpha_k x \cos \alpha_k \xi}{\alpha_k} + f_3(x, \xi)$$

$$L_{22}(x, \xi) = \frac{\pi \theta_2^{(1)}}{D_1} \sum_{k=1}^{\infty} (\varphi_k^{(5)} - 1) \frac{\cos \alpha_k x \sin \alpha_k \xi}{\alpha_k} + f_2(x, \xi)$$

$$f_2(x, \xi) = \frac{\theta_1^{(2)}}{\pi \lambda_1} [x - \xi - (\pi - |x - \xi| - \pi)] \text{sign}(x - \xi - \pi)$$

$$f_3(x, \xi) = \frac{\theta_2^{(1)}}{\pi \lambda_2} \ln \left| (x - \xi) \text{ctg} \frac{\pi(x - \xi)}{4l} \right| + \frac{\theta_1^{(1)}}{\lambda_2} \ln \left| (x - \xi) \text{ctg} \frac{x - \xi}{2} \right|$$

$$F_1(x) = -u_1^{(T)} - u_2^{(T)} - 2\pi \theta_1^{(1)} a_1 \sin x - r_1(x)$$

$$F_2(x) = \delta - v_1^{(T)} - v_2^{(T)} + 2\pi \theta_1^{(1)} a_1 \cos x - r_2(x) - f_1\left(x - \frac{\pi}{2}\right)$$

Таким образом, для определения неизвестных контактных напряжений  $p_i(x)$  и  $\tau_i(x)$  нужно решить систему интегральных уравнений (2.4) совместно с бесконечной системой алгебраических уравнений (1.5).

Перейдем к решению этих уравнений. Умножая первое из уравнений (2.4) на мнимую единицу  $i$  и складывая со вторым, относительно  $p(x) = p_1(x) + i\tau_1(x)$  получим интегральное уравнение. Далее, дифференцируя это уравнение по  $x$ , получим следующее сингулярное интегральное уравнение:

$$-i\pi \text{th} \mu\pi p(x) + \int_{-a}^a \left[ \frac{1}{\xi - x} + A(x, \xi) \right] p(\xi) d\xi + \\ + \int_{-a}^a B(x, \xi) \overline{p(\xi)} d\xi = h(x) \quad (-a < x < a) \quad (2.5)$$



Здесь

$$\begin{aligned}
 A(x, \xi) &= \frac{1}{2} \left[ \frac{\partial L_{21}(x, \xi)}{\partial x} - \frac{\lambda_1}{\lambda_2} \frac{\partial L_{22}(x, \xi)}{\partial x} + \right. \\
 &\quad \left. + i \left( \frac{\partial L_{12}(x, \xi)}{\partial x} - \frac{\lambda_1}{\lambda_2} \frac{\partial L_{11}(x, \xi)}{\partial x} \right) \right] \\
 B(x, \xi) &= \frac{1}{2} \left[ \frac{\partial L_{21}(x, \xi)}{\partial x} + \frac{\lambda_1}{\lambda_2} \frac{\partial L_{22}(x, \xi)}{\partial x} - \right. \\
 &\quad \left. - i \left( \frac{\partial L_{12}(x, \xi)}{\partial x} + \frac{\lambda_1}{\lambda_2} \frac{\partial L_{11}(x, \xi)}{\partial x} \right) \right] \\
 h(x) &= \frac{1}{\lambda_2} [F'_2(x) + iF'_1(x)]
 \end{aligned}$$

а  $\mu$  определяется из трансцендентного уравнения

$$\pi \operatorname{th} \mu \pi = (\theta_1^{(2)} + \theta_2^{(2)}) / (\theta_1^{(1)} + \theta_2^{(1)})$$

Функция  $p(x)$  должна удовлетворять условию равновесия

$$\int_{-a}^a p(x) dx = p_0 \quad (2.6)$$

где  $p_0$  — равнодействующая внешних сил.

Введем безразмерные переменные

$$t = \frac{x}{a}; \quad s = \frac{\xi}{a}; \quad \frac{ap(at)}{p_0} = \lambda(t)$$

После элементарных выкладок уравнение (2.5) перепишем в форме

$$\begin{aligned}
 -i\pi \operatorname{th} \mu \pi \lambda(t) + \int_{-1}^1 \left[ \frac{1}{s-t} + A^*(t, s) \right] \lambda(s) ds + \\
 + \int_{-1}^1 B^*(t, s) \overline{\lambda(s)} ds = h^*(t)
 \end{aligned} \quad (2.7)$$

где

$$A^*(t, s) = aA(at, as); \quad B^*(t, s) = aB(at, as); \quad h^*(t) = \frac{ah(at)}{p_0}$$

При этом уравнение равновесия примет вид

$$\int_{-1}^1 \lambda(s) ds = 1 \quad (2.8)$$

Далее, исходя из результатов работ [4—7], решение уравнения (2.7) представим в виде

$$\chi(t) = \sum_{n=0}^{\infty} \frac{Z_n p_n^{(\alpha, \beta)}(t)}{\omega(t)}; \quad \alpha = -\frac{1}{2} - i\mu \quad ; \quad \omega(t) = (1-t)^{-1}(1+t)^{-3} \quad (2.9)$$

$$\beta = -\frac{1}{2} + i\mu$$

Здесь  $p_n^{(\alpha, \beta)}(t)$  ( $n = 0, 1, \dots$ ) — многочлены Якоби, ортогональные на интервале  $(-1, 1)$  с весом  $\omega^{-1}(t)$ , а  $Z_n$  ( $n = 0, 1, \dots$ ) — неизвестные комплексные коэффициенты, подлежащие определению.

Для дальнейшего нам понадобится соотношение [8]

$$-i\pi \operatorname{th} \mu\pi \frac{p_n^{(\alpha, \beta)}(t)}{\omega(t)} + \int_{-1}^1 \frac{p_n^{(\alpha, \beta)}(s)}{(s-t)\omega(s)} ds = \frac{2}{\pi \operatorname{ch} \mu\pi} p_{n-1}^{(-\alpha, -\beta)}(t) \quad (2.10)$$

Подставляя в выражение  $N_p$  из (1.5) и в (2.7) выражение  $\chi(t)$  из (2.9), используя соотношение (2.10) и условие ортогональности многочленов Якоби, после элементарных выкладок по известной процедуре относительно коэффициентов  $Y_m$  и  $Z_m$  ( $m = 1, 2, \dots$ ) получим следующую систему бесконечных алгебраических уравнений:

$$Z_m = h_m \left[ \sum_{n=1}^{\infty} \frac{A_{m,n}^{(1,1)}}{n} Z_n + \sum_{n=1}^{\infty} \frac{A_{m,n}^{(1,2)}}{n} \bar{Z}_n + \sum_{n=1}^{\infty} A_{m,n}^{(1,3)} Y_n + C_m^{(1)} \right]$$

$$Y_m = \sum_{n=1}^{\infty} A_{m,n}^{(2,1)} Z_n + \sum_{n=1}^{\infty} A_{m,n}^{(2,2)} \bar{Z}_n + \sum_{n=1}^{\infty} A_{m,n}^{(2,3)} Y_n + C_m^{(2)} \quad (2.11)$$

Здесь введены обозначения

$$A_{m,n}^{(1,1)} = - \int_{-1}^1 p_{m-1}^{(-\alpha, -\beta)}(t) \omega(t) dt \int_{-1}^1 \frac{\partial A^*(t, s)}{\partial s} \times$$

$$\times (1+s)^{\beta+1} (1-s)^{\alpha+1} p_{n-1}^{(\alpha+1, \beta+1)}(s) ds$$

$$A_{m,n}^{(1,2)} = - \int_{-1}^1 p_{m-1}^{(-\alpha, -\beta)}(t) \omega(t) dt \int_{-1}^1 \frac{\partial B^*(t, s)}{\partial s} \times$$

$$\times (1+s)^{\beta+1} (1-s)^{\alpha+1} p_{n-1}^{(\alpha+1, \beta+1)}(s) ds$$

$$A_{m,n}^{(1,3)} = - \frac{8(1-\nu_2^2)\beta_n}{E_2} \sum_{k=1}^{\infty} \left[ (-1)^{k+1} \frac{(\varphi_k^{(5)} + (-1)^n \varphi_k^{(4)})}{(\alpha_k^2 + \beta_n^2)^2} + \right.$$

$$\left. + i \frac{(\varphi_k^{(2)} - (-1)^n \varphi_k^{(3)})}{(\alpha_k^2 + \beta_n^2)^2} \right] \alpha_k^2 \int_{-1}^1 \frac{\cos \alpha_k a x p_m^{(-\alpha, -\beta)}(x)}{\omega^{-1}(x)} dx +$$

$$+ \frac{1 + \nu_2}{E_2} \int_{-1}^1 \frac{[(\beta_n x a - \mu_n \operatorname{th} \mu_n) \operatorname{ch} \beta_n x a - (1 - 2\nu_2) \operatorname{sh} \beta_n x a]}{\operatorname{ch} \mu_n} \frac{p_m^{(-\alpha, -\beta)}(x)}{\omega^{-1}(x)} dx$$

$$A_{m,n}^{(2,1)} = \frac{2\beta_m \rho_0}{h \varphi_m^{(1)}} \sum_{k=1}^{\infty} \frac{(-1)^{k-1} a_k}{\alpha_k^2 + \beta_m^2} \left[ \left( \varphi_k^{(5)} + (-1)^{m+1} \varphi_k^{(4)} - \right. \right. \\ \left. \left. - \frac{1}{2\beta_m} \right) \int_{-1}^1 \frac{\cos \alpha_k a x p_n^{(\alpha, \beta)}(x)}{\omega(x)} dx - \right. \\ \left. - i \left( (-1)^{m+1} \varphi_k^{(3)} - \varphi_k^{(2)} \right) \int_{-1}^1 \frac{\sin \alpha_k a x p_n^{(\alpha, \beta)}(x)}{\omega(x)} dx \right]$$

$$A_{m,n}^{(2,2)} = \overline{A_{m,n}^{(2,1)}}, \quad A_{m,n}^{(2,3)} = A_{m,n}; \quad h_m = \frac{\Gamma(m+1) \Gamma(m-1) \operatorname{ch} \mu \pi}{2\pi \Gamma(m-\alpha) \Gamma(m-\beta)}$$

$$C_m^{(1)} = Z_0(A_{m,0}^{(1,1)} + A_{m,0}^{(1,2)}) - \frac{1}{\lambda_2 \rho_0} \int_{-1}^1 \frac{d}{dx} \left[ \psi_1^{(7)} + \psi_2^{(7)} + i(u_1^{(7)} + u_2^{(7)}) + \right. \\ \left. + 2\pi b_1^{(1)} a_1 (i \sin ax - \cos ax) + \right. \\ \left. + \pi b_2^{(1)} \sum_{k=1}^{\infty} (i \varphi_k^{(4)} - \psi_k^{(2)}) \frac{b_k \sin \alpha_k a x}{\alpha_k} \right] \frac{p_{m-1}^{(-\alpha, -\beta)}(x)}{\omega^{-1}(x)} dx$$

$$C_m^{(2)} = \frac{4\beta_m}{h \varphi_m^{(1)}} \sum_{k=1}^{\infty} \frac{(-1)^{k-1} a_k b_k}{\alpha_k^2 + \beta_m^2} \left[ \varphi_k^{(4)} - (-1)^{m+1} \varphi_k^{(5)} - \frac{(-1)^m}{2\beta_m} \right]$$

Легко видеть, что подставляя в (2.8) выражение функции  $\chi(t)$  из (2.9), из условия ортогональности сразу находим  $Z_0 = \operatorname{sh} \mu \pi$ .

Теперь, следуя работам [4—7], систему (2.11) исследуем на регулярность. С этой целью обозначим

$$Z_m = X_m^{(1)} m^{(1-\varepsilon)}, \quad Y_m = X_m^{(2)} \quad (m = 1, 2, \dots)$$

где  $0 < \varepsilon < \frac{1}{2}$ .

Тогда система (2.11) примет вид

$$X_m^{(1)} = \frac{h_m}{m} m^\varepsilon \left[ \sum_{n=1}^{\infty} \frac{A_{m,n}^{(1,1)}}{n^\varepsilon} X_n^{(1)} + \sum_{n=1}^{\infty} \frac{A_{m,n}^{(1,2)}}{n^\varepsilon} \bar{X}_n^{(1)} + \sum_{n=1}^{\infty} A_{m,n}^{(1,3)} X_n^{(2)} + C_m^{(1)} \right] \\ X_m^{(2)} = \sum_{n=1}^{\infty} A_{m,n}^{(2,1)} n^{1-\varepsilon} X_n^{(1)} + \sum_{n=1}^{\infty} A_{m,n}^{(2,2)} n^{1-\varepsilon} \bar{X}_n^{(1)} + \sum_{n=1}^{\infty} A_{m,n}^{(2,3)} X_n^{(2)} + C_m^{(2)} \quad (2.12)$$

Так как  $\partial A^*(t, s)/\partial s; \partial B^*(t, s)/\partial s \in L_2(-1, 1)$ , и при больших  $k$

$$\int_{-1}^1 e^{i\alpha_k x} \frac{p_{m-1}^{(-\alpha, -\beta)}}{\omega(x)} dx \sim o(a_k^{-3/2})$$

то используя асимптотические представления  $h_m$  и  $p_m^{(\alpha, \beta)}(x)$  для больших  $m$ , легко доказать, что при больших  $m$  имеют место следующие соотношения:

$$\frac{h_m}{m} m^t \left[ \sum_{n=1}^{\infty} \frac{|A_{m,n}^{(1,1)}|}{n^t} + \sum_{n=1}^{\infty} \frac{|A_{m,n}^{(1,2)}|}{n^t} + \sum_{n=1}^{\infty} |A_{m,n}^{(1,3)}| \right] \sim o(m^{-1/2+t})$$

$$\sum_{n=1}^{\infty} |A_{m,n}^{(2,1)}| n^{1-t} + \sum_{n=1}^{\infty} |A_{m,n}^{(2,2)}| n^{1-t} + \sum_{n=1}^{\infty} |A_{m,n}^{(2,3)}| \sim o(m^{-1/2+t})$$

то есть система (2.12) квазивполне регулярна.

Для определения размера контактной зоны будем пользоваться условием непрерывности контактных напряжений в концах этой зоны, то есть уравнением

$$\operatorname{Re}[\lambda(\pm 1)] = 0$$

3. Рассмотрим некоторые частные случаи обсуждаемой задачи.

а) Сначала бесконечно увеличим длину прямоугольников. Тогда из системы (1.5) будем иметь  $Y_n \equiv 0$  ( $n = 1, 2, \dots$ ), а из интегрального уравнения (2.7) получим уравнение, соответствующее термоупругой контактной задаче для кругового диска, сжатого двумя одинаковыми упругими полосами. Далее, устремляя  $h$  и  $l$  одновременно к бесконечности и считая тангенциальные напряжения отсутствующими в зонах контакта, приходим к следующему интегральному уравнению:

$$\int_{-1}^1 \ln \frac{1}{|t-s|} \gamma(s) ds + \int_{-1}^1 K(t-s) \gamma(s) ds = h(t) \quad (-1 < t < 1) \quad (3.1)$$

где

$$\gamma(t) = a p_1(at); \quad K(t) = \frac{\theta_1^{(1)}}{\lambda_2} a \ln |at \operatorname{ctg}(at/2)|$$

$$h(t) = \frac{\alpha}{\lambda_2} [-v_1^{(T)} - v_2^{(T)} + 2\pi\theta_1^{(1)} a_1 \cos at - f_1(at - \pi/2)]$$

Представляя решение уравнения (3.1) в виде

$$\gamma(t) = \sum_{n=0}^{\infty} \frac{X_n T_{2n}(t)}{\sqrt{1-t^2}} \quad (-1 < t < 1)$$

где  $T_{2n}(t)$  ( $n = 0, 1, \dots$ ) — многочлены Чебышева первого рода, по известной процедуре приходим к вполне регулярной бесконечной системе

$$X_m = \sum_{n=0}^{\infty} A_{m,n} X_n + M_m \quad (m = 1, 2, \dots) \quad (3.2)$$

где

$$A_{0, n} = -\frac{1}{\pi^2 \ln 2} \int_{-1}^1 \frac{dt}{\sqrt{1-t^2}} \int_{-1}^1 K(t-s) \frac{T_{2n}(s)}{\sqrt{1-s^2}} ds$$

$$M_0 = \frac{1}{\pi^2 \ln 2} \int_{-1}^1 \frac{h(t)}{\sqrt{1-t^2}} dt$$

$$A_{m, n} = -\frac{4m}{\pi} \int_{-1}^1 \frac{T_{2m}(t)}{\sqrt{1-t^2}} dt \int_{-1}^1 K(t-s) \frac{T_{2n}(s)}{\sqrt{1-s^2}} ds$$

$$M_m = \frac{4m}{\pi} \int_{-1}^1 \frac{h(t) T_{2m}(t)}{\sqrt{1-t^2}} dt \quad (n = 0, 1, \dots, m = 1, 2, \dots)$$

Бесконечная система (3.2) вполне регулярна при условии

$$\frac{\theta_1^{(1)}}{(\theta_1^{(1)} + \theta_2^{(1)})} \left( \frac{a^2 \cos 2\alpha}{\sin^2 2\alpha} - \frac{1}{4} \right) < \frac{\pi}{2}$$

в противном случае квазивполне регулярна.

б) Рассмотрим еще один частный случай, когда упругий диск сжимается двумя одинаковыми упругими балками, являющимися предельными случаями прямоугольников, находящихся под действием распределенной нагрузки интенсивности  $q(x)$ , симметричной относительно оси  $oy$ .

Под действием контактного давления  $p_1(x)$  и нагрузки  $q(x)$  точки нейтральной оси балки получают перемещения

$$v_2(x) = \frac{1}{D} \int_{-a}^a G(x, \xi) p_1(\xi) d\xi - \frac{1}{D} \int_{-l}^l G(x, \xi) q(\xi) d\xi \quad (3.3)$$

где  $D$  — жесткость балки на изгиб,  $2l$  — длина балки и

$$G(x, \xi) = \frac{|x - \xi|^3}{12} \quad (-a \leq x, \xi \leq a) \quad (3.4)$$

Нужно отметить, что при получении (3.4) было использовано уравнение изгиба балки без учета влияния поперечных сдвигов и нормальных напряжений между волокнами. Интегральное уравнение задачи в обсуждаемом случае примет вид

$$\int_{-\pi}^{\pi} \left[ \ln \frac{1}{\left| 2 \sin \frac{\theta - \varphi}{2} \right|} + K(\theta, \varphi) \right] p_1(\varphi) d\varphi = f(\theta) \quad (-\alpha \leq \theta \leq \alpha) \quad (3.5)$$

где

$$K(\theta, \varphi) = \ln \cos \frac{\theta - \varphi}{2} - \sin \theta \cos \varphi + \frac{G(\theta, \varphi)}{\theta_1^{(1)} D}$$

$$f(\theta) = \frac{1}{\theta_1^{(1)}} \left[ \delta - 1 + \cos \theta + \frac{1}{D} \int_{-l}^l G(\theta, \varphi) q(\varphi) d\varphi \right]$$

Решение (3.5) ищем в виде разложения

$$p_1(\theta) = \frac{\cos \theta/2}{\sqrt{2(\cos \theta - \cos \alpha)}} \sum_{n=0}^{\infty} X_n T_{2n} \left( \frac{\sin \theta/2}{\sin \alpha/2} \right) \quad (-\alpha < \theta < \alpha) \quad (3.6)$$

Учитывая условия равновесия

$$\int_{-\alpha}^{\alpha} p_1(\varphi) d\varphi = \int_{-l}^l q(\varphi) d\varphi = p_0$$

из (3.6) найдем  $X_0 = p_0/\pi$

Подставляя выражение  $p_1(\theta)$  из (3.6) в (3.5), после элементарных преобразований опять-таки приходим к регулярной бесконечной системе типа

$$X_m = \sum_{n=1}^{\infty} B_{m,n} \frac{X_n}{2n} + C_m \quad (m = 1, 2, \dots) \quad (3.7)$$

Условие полной регулярности системы (3.7) имеет вид

$$\frac{2}{3 \cos^2 \alpha/2} \left( \sin \alpha \cos \alpha + \frac{1}{4 \cos^2 \alpha} + \frac{\alpha}{\theta_1^{(1)} D} \right) < \frac{\pi^2}{4}$$

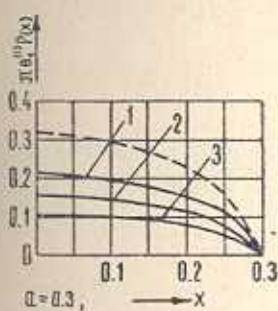
При остальных значениях параметров система квазирегулярна.

В случае прямоугольников достаточно больших размеров, а именно, когда  $h = l = 8\lambda$ , числовые расчеты приведены для различных значений полудлины контактной зоны, притом прямоугольники нагружены равномерно распределенными силами интенсивности  $p$ . При этом для упругих и тепловых характеристик были приняты следующие значения:  $E_1 : E_2 = 0.5 : 1 ; 2 ; \nu_1 = \nu_2 = 0.3 ; \alpha_1 = 26 \cdot 10^{-6} 1/^\circ C ; \alpha_2 = 17 \cdot 10^{-6} 1/^\circ C$ .

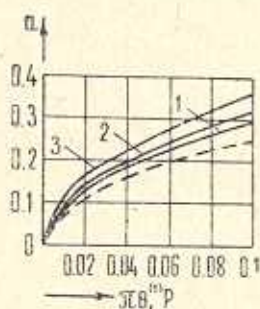
Результаты вычислений, проведенных на ЭВМ «Наири-2», приведены в виде графиков (фиг. 2, 3, 4) и табл. 1, где через  $\delta_i$  и  $p_i$  ( $i = 0, 1$ ) обозначены взаимное сближение контактирующих тел и приведенные вдавливающие силы соответственно при нулевой температуре и при  $100^\circ C$  внешней среды. Анализ результатов таблицы показывает, что температура, вообще говоря, незначительно влияет на распределение контактных напряжений и на другие характеристики контакта.

Исследованы также зависимости распределения контактных напряжений (фиг. 2), полудлины контактной зоны  $a$  (фиг. 3) и меры взаимного сближения  $\delta$  (фиг. 4) от приложенных сил  $p$ , которые представлены в виде графиков. На этих графиках пунктирные линии соответствуют абсо-

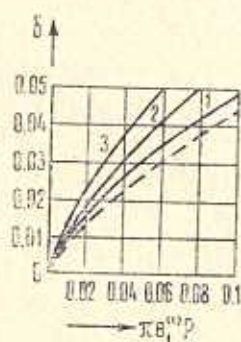
лютно жестким прямоугольникам. Как явствует из графика контактных напряжений (фиг. 2) по мере уменьшения отношения  $E_1 : E_2$  в одной и той же точке контактные напряжения увеличиваются. А на остальных двух



Фиг. 2.



Фиг. 3.



Фиг. 4.

графиках (фиг. 3, 4) наблюдается в некотором смысле обратный эффект, а именно, при увеличении отношения  $E_1 : E_2$  при одной и той же силе  $\rho$  величины  $\delta$  и  $a$  также увеличиваются.

Таблица 1

$E_1 : E_2 = 1; p_i^* = \nu_i^{(1)} p_i \quad (i=0, 1)$						
$a$	0.05	0.1	0.15	0.2	0.25	0.3
$p_0^*$	0.002616	0.010450	0.032549	0.041866	0.065417	0.094196
$p_1^*$	0.002614	0.010441	0.023532	0.041831	0.065376	0.094134
$\delta_0$	0.037290	0.011426	0.021213	0.031946	0.042942	0.053657
$\delta_1$	0.037243	0.011417	0.021179	0.031916	0.042911	0.053591

В конце считаю своим приятным долгом выразить благодарность С. М. Мхитаряну за постановку задачи и за ценные советы.

Институт механики  
АН Армянской ССР

Поступила 28 XII 1979

Վ. Ն. ՀԱԿՈՅԱՆ

ՋԵՐՄԱՅԻՆ ԱԶԳԵՅՈՒԹՅՈՒՆՆԵՐԻ ԱՌԿԱՅՈՒԹՅԱՄԲ  
ՇՐՋԱՆԱՅԻՆ ՄԿԱՎԱՌԱԿԻ ԵՎ ԵՐԿՈՒ ՌԻՂԱՆԿՅՈՒՆՆԵՐԻ  
ԿՈՆՏԱԿՏԻ ՄԱՍԻՆ

Ա մ փ ո փ ո ռ մ

Ուսումնասիրված է երկու տարբեր առաձգական ուղղանկյուններով առաձգական շրջանային սկավառակի սեղմման կոնտակտային խնդիրը ջերմային ազդեցությունների հաշվառումով: Այդ ազդեցությունները պայմանավոր-

ված են ստացիոնար ջերմային դաշտով, երբ տեղի ունեն ջերմային կոնտակտի սովորական պայմանները:

Խնդրի լուծումը Յակոբիի և Չերիշևի բազմանդամների ապարատի հիման վրա բերված է սեպուլյար անվերջ համակարգերի: Թվային անալիզի օգնությամբ ի հայտ են բերված կարևոր մեխանիկական բնութագրիչների փոփոխման օրինաչափությունները:

## ON A CONTACT OF A CIRCULAR DISK WITH TWO RECTANGLES UNDER TEMPERATURE EFFECTS

V. A. AKOPIAN

### S u m m a r y

A contact problem for a compression of a circular disk by two dissimilar elastic rectangles, considering temperature effects, is investigated. These effects result from the presence of a stationary temperature field under ordinary conditions of thermal contact.

The solution to the problem on the basis of the Yakoby and Chebishev polynomials is reduced to regular infinite systems. A numerical analysis is used to find out the regularities of variation in essential mechanical characteristics.

### ЛИТЕРАТУРА

1. Абрамян Б. А. К плоской задаче теории упругости для прямоугольника. ПММ, 1957, т. 21, вып. 1.
2. Мусхелишвили Н. И. Некоторые основные задачи математической теории упругости. М., Изд. «Наука», 1973.
3. Акопян В. Н. К одной задаче о тепловом контакте кругового диска с прямоугольными пластинами. Докл. АН Арм. ССР, 1978, т. 64, № 5.
4. Arutunian N. Ch., Mkhitarian S. M. Trends in elasticity and thermoelasticity. Witold Nowacki Anniversary Volume. Wolters-Noordhoff Publishing, p. 3—20, 1971.
5. Sternberg E., Tureltaub M. J. Compression of an Elastic Roller Between Two Rigid Plates. Механика сплошной среды и родственные проблемы анализа. М., Изд. «Наука», 1972.
6. Арутюнян Н. Х., Мхитарян С. М. Некоторые контактные задачи для полуплоскости с частично скрепленными упругими накладками. Известия АН Арм. ССР, Механика, 1972, т. 25, вып. 2.
7. Гулян К. Г. Передача нагрузки от стрингера конечной длины к двум клиновидным пластинам. Докл. АН Арм. ССР, 1974, т. 59, № 4.
8. Попов Г. Я. Плоская контактная задача теории упругости с учетом сил сцепления или трения. ПММ, 1966, т. 30, вып. 3.
9. Штаерман И. Я. Контактная задача теории упругости. М., Гостехтеоретиздат, 1949.